

· 研究简报 ·

LGK974 的合成工艺研究

骆荣双^{1a,1b}, 黄朋越^{1c}, 刘春江^{1a,1b}, 赵庆平^{1a,1b}, 周志旭^{1a,1b}, 黄筑艳^{1a,1b*}

(1. 贵州大学 a. 药学院; b. 贵州省合成药物工程实验室; c. 化学与化工学院, 贵州 贵阳 550025)

摘要: LGK974 是一种高度特异性和有效的 Porcupine 抑制剂。设计了一条新的合成路线, 以 2-氨基-5-溴吡啶、2-氯-3-甲基吡啶、2-氨基吡嗪和 2-甲基-6-氯吡啶为起始原料, 采用汇聚法, 经取代、Suzuki、酰胺化等 10 步反应合成了 LGK974, 总收率 11.5%, 其结构经¹H NMR、¹³C NMR 和 MS(ESI-TOF)确证。

关 键 词: LGK974; Porcupine 抑制剂; 合成; 工艺优化; Suzuki 反应; 酰胺化

中图分类号: O626. 3; R914.5

文献标志码: A

DOI: 10.15952/j.cnki.cjsc.1005-1511.19407

Study on the Synthesis Process of LGK974

LUO Rong-shuang^{1a,1b}, HUANG Peng-yue^{1c}, LIU Chun-jiang^{1a,1b},

ZHAO Qing-ping^{1a,1b}, ZHOU Zhi-xu^{1a,1b}, HUANG Zhu-yan^{1a,1b*}

(a. School of Pharmaceutical Sciences; b. Guizhou Engineering Laboratory for Synthetic Drugs;

c. School of Chemistry and Chemical Engineering, 1. Guizhou University, Guiyang 550025, China)

Abstract: LGK974 is a highly specific and effective Porcupine inhibitor. In this work, a new synthetic route was designed, using 2-amino-5-bromopyridine, 2-chloro-3-methylpyridine, 2-aminopyrazine and 2-methyl-6-chloropyridine as materials by means of substitution, Suzuki reaction, amidation and so on. The structure was confirmed by ¹H NMR, ¹³C NMR and MS(ESI-TOF). The total yield was 11.5%. Compared with the reported route, the method has the advantages of simple operation, low cost, safety and environmental protection.

Keywords: LGK974; Porcupine inhibitor; synthesis; process improvement; Suzuki reaction; amidation

Wnt 信号在细胞增殖、分化和胚胎形态变化过程中起着主导作用, 阻断 Wnt 信号传导是抗癌疗法中极具吸引力的方案之一^[1-2]。LGK974 是一种小分子 Porcupine 蛋白抑制剂, 通过抑制 Porcupine 的活性控制 Wnt 蛋白的转运, 阻断 Wnt 信号通路, 可达到抗癌效果^[3-6]。

文献合成 LGK974 的方法为^[7-8]: 以 2-氯-3-甲基-5-溴吡啶、2-叔丁氧基-2-羧基乙基锌氯、2-甲

基-4-(三丁基锡)吡啶、2-氨基-5-吡啶硼酸酯、2-碘吡嗪为原料, 经 5 步反应合成目标化合物, 总收率 14.6%。该合成路线的缺点较多, 如使用的原料 2-碘吡嗪、2-氨基-5-吡啶硼酸酯价格昂贵; 中间产物 6-氯-5-甲基-3-吡啶乙酸叔丁酯需使用硅胶柱层析纯化; 有机锡试剂具有较强的神经毒性, 难以去除, 对药效产生不良影响。

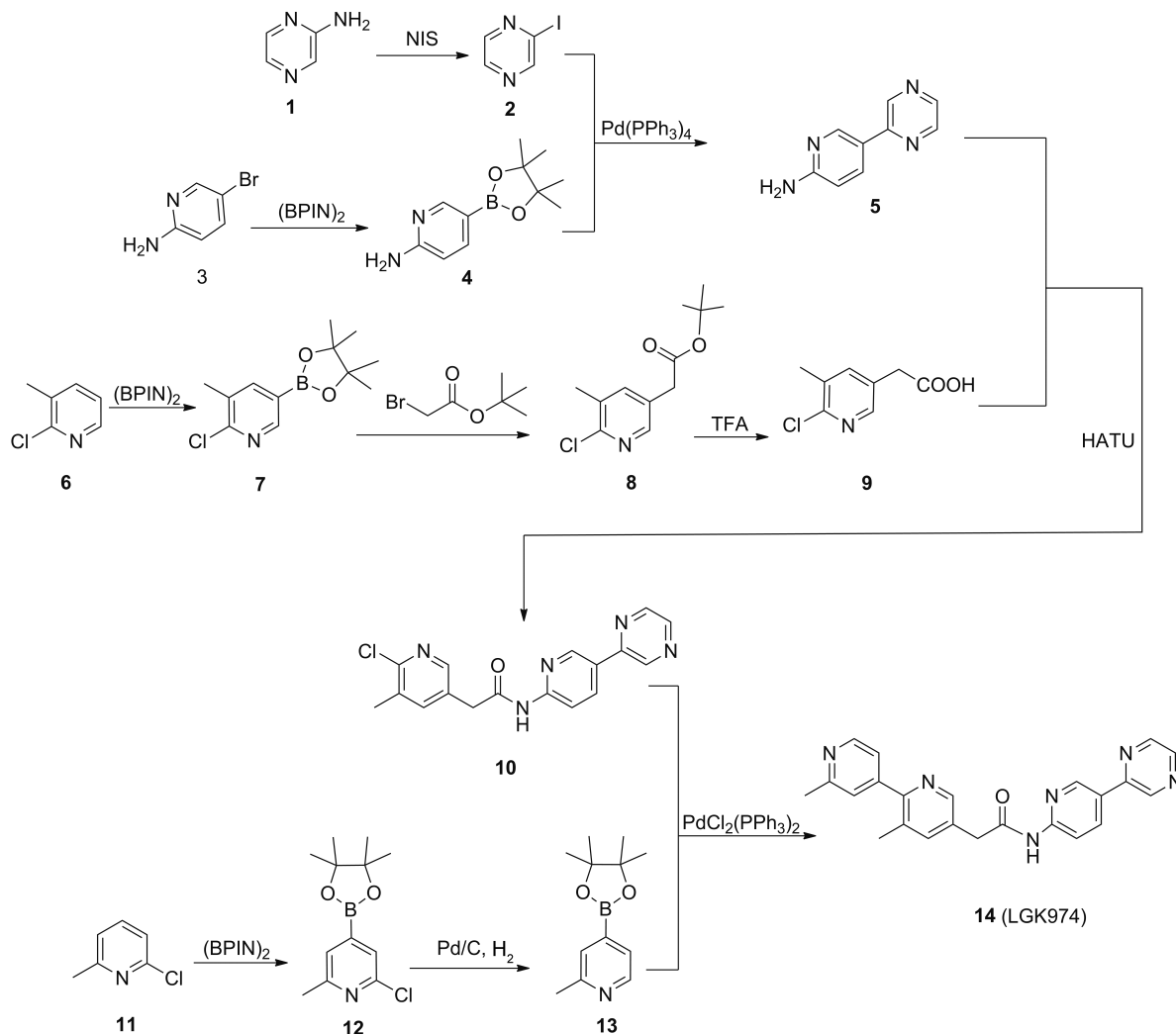
为了优化 LGK974 的合成路线, 本文以 2-氨

收稿日期: 2019-12-02; 修订日期: 2020-04-13

基金项目: 贵州省科技计划项目(黔科合 LH 字[2016]7442 号, 黔科合平台人才[2018]5781 号)

第一作者简介: 骆荣双(1996-), 女, 布依族, 贵州都匀人, 硕士, 主要从事药物合成研究。E-mail: 1649853320@qq.com

通信联系人: 黄筑艳, 副教授, 研究生导师, E-mail: tthhzy@126.com



Scheme 1

基-5-溴吡啶、2-氯-3-甲基吡啶、2-氨基吡嗪、2-甲基-6-氯吡啶为起始原料,经取代、Suzuki、酰胺化等10步反应合成了LGK974(Scheme 1),总收率11.5%,其结构经¹H NMR、¹³C NMR和MS(ESI-TOF)确证。

1 实验部分

1.1 仪器与试剂

T-4型熔点仪;ZF-7型三用紫外分析仪;Bruker Advance DMX 400 MHz型核磁共振仪(TMS为内标);Agilent 1100 LC/MS型质谱仪。所用试剂均为化学纯或分析纯。

1.2 合成

(1) 2-碘吡嗪(2)的合成

在1000 mL单口烧瓶中加入2-氨基吡嗪(1)100.2 g(1051.4 mmol)和N,N-二甲基甲酰胺400

mL,于0 ℃缓慢加入亚硝酸钠109.3 g(1577.1 mmol)和N-碘代丁二酰亚胺(NIS)355.1 g(1577.1 mmol),升温至室温,搅拌下反应4 h。缓慢倒入适量冰水中,用乙酸乙酯(3×200 mL)萃取,合并有机相,依次用饱和硫代硫酸钠溶液洗涤,无水硫酸钠干燥,浓缩得黄色油状液体2 191.1 g,收率88.1%;¹H NMR(CDCl₃, 400 MHz)δ: 8.40(dd, J=1.8 Hz, 2.4 Hz, 1H), 8.52(d, J=2.4 Hz, 1H), 8.64(d, J=1.5 Hz, 1H)。

(2) 2-氨基-5-吡啶硼酸酯(4)的合成

在500 mL三口瓶中加入2-氨基-5-溴吡啶(3)54.5 g(314.5 mmol)、联硼酸频哪醇酯(BPIN)₂79.0 g(330.0 mmol)、醋酸钾92.5 g(943.5 mmol),[1,1'-双(二苯基膦)二茂铁]二氯化钯11.5 g(15.8 mmol)和1,4-二氧六环300 mL,氮气保护下,升温至100 ℃,搅拌下反应8 h。

抽滤,滤饼用甲醇洗涤,合并滤液和洗液,旋蒸除溶剂,残余物用甲醇浸泡后抽滤,滤液加入活性碳,搅拌5 h,抽滤,滤液蒸除溶剂后经正己烷打浆得白色固体**4** 64.2 g,收率92.6%,m.p.98.3~101.6 °C;¹H NMR(400 MHz, CDCl₃) δ: 1.35(s, 12H), 4.47(s, 2H), 6.43(d, J = 8.0 Hz, 1H), 7.77(d, J = 10.0 Hz, 1H), 8.44(s, 1H)。

(3) 5-(2-吡嗪基)-2-吡啶胺(**5**)的合成

在500 mL三口瓶中加入2-碘吡嗪50.0 g(242.5 mmol)、2-氨基-5-吡啶硼酸酯25.6 g(291.5 mmol)、碳酸钾100.0 g(727.5 mmol)、四(三苯基膦)钯[Pd(PPh₃)₄]8.0 g(7.3 mmol)和混合溶剂[V(1,4-二氧六环)/V(水)=10/1]300 mL,氮气保护下,升温至80 °C,搅拌下反应8 h。减压浓缩,残余物加入丙酮50 mL,抽滤,滤液浓缩,粗品加入乙酸乙酯100 mL,抽滤得黄白色固体**5** 32.7 g,收率78.3%,m.p.125.2~127.6 °C;¹H NMR(CDCl₃, 400 MHz) δ: 9.12(d, J = 1.6 Hz, 1H), 8.72(m, 1H), 8.59(m, 1H), 8.45(d, J = 2.8 Hz, 1H), 8.11(dd, J = 8.8 Hz, 2.4 Hz, 1H), 6.54(d, J = 8.8 Hz, 1H), 6.44(s, 2H)。

(4) 6-氯-5-甲基-3-吡啶乙酸(**9**)的合成

在500 mL三口瓶中加入2-氯-3-甲基吡啶(**6**)60.1 g(469.8 mmol)、联硼酸频哪醇酯110.1 g(469.8 mmol)、甲氧基(环辛二烯)合铱二聚体0.3 g(0.5 mmol)、4,4'-二叔丁基-2,2'-二吡啶0.6 g(2.3 mmol)和正己烷300 mL,氮气保护下,升温至60 °C,搅拌下反应3 h。减压浓缩,残余物加入适量水中,抽滤,滤饼加入50 mL正己烷,搅拌0.5 h得黄白色固体**7** 117.0 g,收率98.3%,m.p.102.6~105.8 °C;¹H NMR(CDCl₃, 400 MHz) δ: 8.56(d, J = 1.8 Hz, 1H), 7.92(m, 1H), 2.39(s, 3H), 1.28(s, 12H)。

在500 mL三口瓶中加入2-氯-3-甲基-4-吡啶硼酸酯60.7 g(470.4 mmol)、磷酸钾150.6 g(710.1 mmol)、三(邻甲苯基)膦6.3 g(23.7 mmol)、溴乙酸叔丁酯64.1 g(284.1 mmol)、三(二亚苄基丙酮)二钯6.6 g(7.1 mmol)和混合溶剂[V(四氢呋喃)/V(水)=10/1]300 mL,氮气保护,搅拌下反应12 h。过滤,滤饼用少量四氢呋喃洗涤,合并滤液和洗液,减压浓缩,残余物用混合溶剂[V(正己烷)/V(乙酸乙酯)=10/1]浸泡,抽滤,滤液减压浓缩,残余物加入二氯甲烷100 mL

和三氟乙酸135.2 g(1183.5 mmol),反应2 h。加入冰水,用二氯甲烷(3×200 mL)萃取,合并有机相,依次用饱和碳酸氢钠溶液200 mL洗涤,无水硫酸镁干燥,浓缩得黄色固体**9** 20.1 g,收率45.2%,m.p.120.4~123.1 °C;¹H NMR(CDCl₃, 400 MHz) δ: 8.19(m, 1H), 7.56(m, 1H), 3.65(s, 2H), 2.40(s, 3H)。

(5) 6-氯-5-甲基-N-[5-(2-吡嗪基)-2-吡啶基]-3-吡啶乙酰胺(**10**)的合成

在500 mL三口瓶中加入5-(2-吡嗪基)-2-吡啶胺29.8 g(174.0 mmol)、6-氯-5-甲基-3-吡啶乙酸32.4 g(174.0 mmol)、2-(7-偶氮苯并三氮唑)-N,N,N',N'-四甲基脲六氟磷酸酯(HATU)66.2 g(174.0 mmol)、三乙胺19.2 g(191.4 mmol)和N,N-二甲基甲酰胺200 mL,搅拌下反应10 h。抽滤,滤液倒入适量水中,用乙酸乙酯(3×100 mL)萃取,合并有机相,依次用饱和食盐水洗涤,无水硫酸钠干燥,减压浓缩,残余物加入乙醚50 mL,抽滤得白色固体**10** 44.4 g,收率75.5%,m.p.223.2~226.5 °C;¹H NMR(DMSO-d₆, 400 MHz) δ: 10.39(s, 1H), 9.31(d, J = 1.6 Hz, 1H), 9.11(d, J = 1.6 Hz, 1H), 8.72(m, 1H), 8.65(m, 1H), 8.52(dd, J = 8.6 Hz, 2.4 Hz, 1H), 8.20(m, 2H), 7.73(d, J = 1.6 Hz, 1H), 3.91(s, 2H), 2.34(s, 3H)。

(6) 2-甲基-4-吡啶硼酸酯(**13**)的合成

在500 mL三口瓶中加入2-甲基-6-氯吡啶(**11**)60.0 g(470.4 mmol)、联硼酸频哪醇酯110.1 g(156.8 mmol)、甲氧基(环辛二烯)合铱二聚体0.3 g(0.5 mmol)、4,4'-二叔丁基-2,2'-二吡啶0.6 g(2.3 mmol)和正己烷300 mL,氮气保护下,升温至60 °C,搅拌下反应2.5 h。减压浓缩,残余物倒入适量水中,抽滤,滤饼用少量水洗涤,过滤,滤饼加入正己烷50 mL,抽滤得白色固体**12** 107.4 g,收率90.0%,m.p.105.2~107.8 °C;¹H NMR(CDCl₃, 400 MHz) δ: 8.56(d, J = 1.8 Hz, 1H), 7.92(m, 1H), 2.35(s, 3H), 1.34(s, 12H)。

在500 mL三口瓶中加入2-甲基-6-氯-吡啶硼酸酯29.7 g(118.4 mmol)、甲酸铵15.1 g(236.6 mmol)、钯炭3.0 g(wt=5%)和甲苯200 mL,氮气保护,搅拌下反应6 h。过滤,滤液减压浓缩,残余物加入丙酮100 mL,搅拌0.5 h;抽滤得白色固体

13 21.8 g, 收率 84.9%, m. p. 59.6~62.5 °C; ^1H NMR(CDCl_3 , 400 MHz) δ : 8.51(dd, J = 4.8 Hz, 1.0 Hz, 1H), 7.51(s, 1H), 7.42(d, J = 4.8 Hz, 1H), 2.55(s, 3H), 1.34(s, 12H)。

(7) LGK974(14)的合成

在 500 mL 三口瓶中加入 6-氯-5-甲基-N-[5-(2-吡嗪基)-2-吡啶基]-3-吡啶乙酰胺 29.4 g (88.2 mmol)、磷酸钾 56.4 g (264.6 mmol)、2-甲基-4-吡啶硼酸酯 22.8 g (105.6 mmol)、双(三苯基膦)二氯化钯 [$\text{PdCl}_2(\text{PPh}_3)_2$] 1.8 g (14.2 mmol) 和混合溶剂 [$V(1,4\text{-二氧六环})/V(\text{水})/V(\text{乙醇}) = 20/1/0.5$] 300 mL, 氮气保护, 搅拌下回流反应 12 h。过滤, 滤饼用少量甲醇洗涤, 合并滤液和洗液, 减压浓缩, 残余物加入少量水, 抽滤, 滤饼加入乙醚 50 mL, 搅拌 1 h; 抽滤得黄白色固体 **14** 24.1 g, 收率 70.3%, m. p. 263.8~266.9 °C; ^1H NMR($\text{DMSO}-d_6$, 400 MHz) δ : 11.08(s, 1H), 9.30(d, J = 1.6 Hz, 1H), 9.11(d, J = 1.6 Hz, 1H), 8.63(m, 1H), 8.59(m, 1H), 8.47(dd, J = 8.6 Hz, 2.4 Hz, 1H), 8.13(m, 3H), 7.89(m, 1H), 7.77(m, 1H), 7.70(m, 1H), 3.83(s, 2H), 2.34(s, 3H), 2.32(s, 3H); ^{13}C NMR (DMSO , 100 MHz) δ : 168.2, 159.2, 156.8, 156.6, 150.7, 148.4, 148.34, 147.1, 144.3, 143.1, 142.2, 141.4, 133.6, 132.3, 131.3, 130.8, 130.6, 122.1, 119.7, 112.7, 41.8, 23.8, 18.6; HR-MS(ESI-TOF) m/z : Calcd for $\text{C}_{23}\text{H}_{20}\text{N}_6\text{O} \{[\text{M} + \text{H}]^+\}$ 397.1771, found 397.1774。

2 结果与讨论

2.1 化合物 **10** 的合成^[9~10]

考察了不同酰胺化方法对反应的影响, 结果见表 1。由表 1 可知, 选择 HATU/TEA 体系时, 收率最高为 75%。

表 1 酰胺化方法对化合物 **10** 收率的影响

Table 1 Effect of amidation methods on the yield of **10**

酰胺化体系	DCC/4-DMAP	HATU/TEA	EDC/HOBt
收率/%	50	75	18.6

2.2 化合物 **13** 的合成

合成化合物 **13** 时, 以 2-甲基-6-氯吡啶为起始原料, 通过催化剂甲氧基(环辛二烯)合铱二聚

体催化在吡啶环的 4-位成功引入硼酸酯, 在氢气、碱以及催化剂同时存在的条件下进行还原反应得到化合物 **13**。对催化剂用量和碱对 **13** 收率的影响进行了优化。

(1) 催化剂用量

文献^[11]方法表明, 反应时需加入催化剂进行催化还原, 催化剂用量对反应有较大的影响。对催化剂用量进行优化后发现, 钯碳($wt = 5\%$)催化剂与原料质量比为 0.15/1 时, 收率最高为 89.1%。

(2) 碱

文献^[11]方法使用的碱包括碳酸氢钠、叔丁醇钾、碳酸钾、甲酸铵。在实验过程中发现, 没有碱参与反应时, 反应不能成功引发; 随着碱性的增强, 收率降低。采用甲酸铵为碱, 收率最高为 86.4% (表 2)。

表 2 碱对化合物 **13** 收率的影响

Table 2 Effect of alkali on the yield of **13**

碱	碳酸氢钠	碳酸钠	叔丁醇钾	甲酸铵
收率/%	0	76.4	58.3	23.5

2.3 化合物 **14** 的合成

Suzuki 偶联反应为构筑芳香环间 C—C 键的有效方法^[12~15]。采用 Suzuki 偶联反应合成了化合物 **14**, 并研究了碱对收率的影响, 结果见表 3。由表 3 可知, 以磷酸钾为碱时, 收率最高为 67.9%。

表 3 碱对化合物 **14** 收率的影响

Table 3 Effect of bases on the yield of **14**

碱	碳酸铯	磷酸钾	叔丁醇钾
收率/%	35.2	67.9	18.8

3 结论

以 2-氨基-5-溴吡啶和 2-氨基吡嗪、2-甲基-6-氯吡啶等为起始原料, 采用汇聚式合成法, 经取代、Suzuki、酰胺化等 10 步反应合成了 Porcupine 抑制剂 LGK974, 总收率 11.5%。该路线具有成本低、安全环保、副产物少及后处理简单等优点。

参考文献

- [1] LIU J, PAN S, HSIEH M H, et al. Targeting wnt-

- driven cancer through the inhibition of porcupine by LGK974 [J]. Proceedings of the National Academy of Sciences, 2013, **110**(50) :20224 – 20229.
- [2] JANG J, JUNG Y, KIM Y, et al. LPS-induced inflammatory response is suppressed by wnt inhibitors, dickkopf-1 and LGK974 [J]. Scientific Reports, 2017, **7**:41612.
- [3] TIAN D, SHI Y, CHEN D X, et al. The wnt inhibitor LGK-974 enhances radiosensitivity of HepG2 cells by modulating Nrf2 signaling [J]. International Journal of Oncology, 2017, **51**(2) :545 – 554.
- [4] 田丹, 王彦, 王芹, 等. LGK-974 对人肝癌细胞系 HepG2 的辐射增敏作用 [J]. 辐射研究与辐射工艺学报, 2016, **34**(6) :60203 – 60203.
(TIAN D, WANG Y, WANG Q, et al. Radiosensitization of LGK-974 on human hepatocellular carcinoma cell line HepG2 [J]. Journal of Radiation Research and Radiation Processing, 2016, **34** (6) : 60203 – 60203.)
- [5] 董燕. 以 Wnt 信号通路 Porcupine 蛋白为靶点的小分子抑制剂的设计、合成及活性研究 [D]. 苏州: 苏州大学, 2016.
(DONG Y. Design, synthesis and activity of small molecule inhibitors targeting Wnt signaling pathway porcupine protein [D]. Suzhou: Suzhou University, 2016.)
- [6] 李克煌. 4-氨基嘧啶类化合物作为 WNT 信号通路 Porcupine 蛋白抑制剂的设计、合成及活性研究 [D]. 苏州: 苏州大学, 2016.
(LI K H. Design, synthesis and activity of 4-aminopyrimidines as porcupine protein inhibitors of WNT signaling pathway [D]. Suzhou: Suzhou University, 2016.)
- [7] CHENG D, LIU J, HAN D, et al. Discovery of pyridinyl acetamide derivatives as potent, selective, and orally bioavailable porcupine inhibitors [J]. ACS Medicinal Chemistry Letters, 2016, **7**(7) :676 – 680.
- [8] CHENG D, ZHANG G, HAN D, et al. Preparation of *N*-(hetero)aryl,2-(hetero)aryl-substituted acetamides for use as wnt signaling modulators: US 2010101849 [P]. 2010.
- [9] 朱飞, 李鑫, 陈宇航, 等. 2-[5-(3-羟基苯甲酰氨基)-1,3,4-噻二唑]基乙酸乙酯的合成 [J]. 合成化学, 2017, **25**(8) :695 – 697.
(ZHU F, LI X, CHEN Y H, et al. Synthesis of 2-[5-(3-hydroxybenzoylamino)-1,3,4-thiadiazole]ethyl acetate [J]. Chinese Journal of Synthetic Chemistry, 2017, **25**(8) :695 – 697.)
- [10] 陈美玲, 于世钧, 张树彪, 等. 甘氨酸二肽合成中缩合剂的选择 [J]. 化学世界, 2013, **54**(9) :538 – 541.
(CHEN M L, YU S J, ZHANG S B, et al. Selection of condensing agent in glycine dipeptide synthesis [J]. Chemical world, 2013, **54**(9) :538 – 541.)
- [11] DUNSFORD J J, CAVELL K J. Pd-peppsi-type expanded ring *N*-heterocyclic carbene complexes: Synthesis, characterization, and catalytic activity in Suzuki – Miyaura cross coupling [J]. Organometallics, 2014, **33**(11) :2902 – 2905.
- [12] 李瑞, 白雪峰. Suzuki 偶联反应中钯配合物催化剂的研究进展 [J]. 化学与黏合, 2011, **33**(04) :55 – 59.
(LI R, BAI X F. Research progress of palladium complex catalysts in Suzuki coupling reaction [J]. Chemistry and Adhesion, 2011, **33**(04) :55 – 59.)
- [13] 王继虓. Suzuki 偶联反应设计含氮杂环配体及吡唑类配合物的合成、结构与功能研究 [D]. 大连: 辽宁师范大学, 2015.
(WANG J C. Suzuki coupling reaction design for synthesis, structure and function of nitrogen-containing heterocyclic ligands and pyrazole complexes [D]. Dalian: Liaoning Normal University, 2015.)
- [14] 胡玲君, 聂晶晶. 应用于 Suzuki 偶联反应的金属催化剂研究进展 [J]. 浙江大学学报(理学版), 2018, **45**(04) :436 – 449.
(HU L J, NIE J J. Research progress of metal catalysts used in Suzuki coupling reactions [J]. Journal of Zhejiang University (Science Edition), 2018, **45** (04) :436 – 449.)
- [15] 张阳阳, 巨少英, 左川, 等. 1,2-二(二苯基膦)乙烷氯化钯(Ⅱ)的合成及催化活性 [J]. 合成化学, 2018, **26**(10) :738 – 743.
(ZHANG Y Y, JU S Y, ZUO C, et al. Synthesis and catalytic activity of 1,2-bis(diphenylphosphine)ethane palladium(Ⅱ) chloride [J]. Chinese Journal of Synthetic Chemistry, 2018, **26**(10) :738 – 743.)